

# C<sub>60</sub>分子晶体结晶形态及局部相变的研究

刘茜 温树林 阮美玲 严东生

(中国科学院高性能陶瓷和超微结构开放实验室,中国科学院上海硅酸盐研究所,上海 200050)

**关键词** C<sub>60</sub> 分子晶体、结晶形态、局部相变

## 1 引言

异军突起的C<sub>60</sub>分子晶体吸引了众多科技工作者的视线,研究工作已延伸到许多方面、不同层次。但就C<sub>60</sub>的晶体结构而言,人们的认识还有分歧。Krätschmar等人<sup>[1]</sup>早期的研究工作表明:C<sub>60</sub>分子以六方密堆(h.c.p.)形式结晶,晶胞参数 $a = 10.02 \text{ \AA}$ ,  $c = 16.36 \text{ \AA}$ 。而Fleming等人<sup>[2]</sup>则认为C<sub>60</sub>分子晶体属面心立方(f.c.c.)晶型,  $a = 14.172 \text{ \AA}$ 。争论终以晶体生长条件的不同决定其最终晶型的差异而平息。f.c.c. 和 h.c.p. 两种晶型的C<sub>60</sub>分子晶体都可能在室温下存在,但从能量的角度考虑,f.c.c. 晶型更趋稳定。不过最近Kroto等<sup>[3]</sup>又提出C<sub>60</sub>分子可以有f.c.c. 和 h.c.p. 两种晶格排列。Song<sup>[4]</sup>则进一步指出C<sub>60</sub>薄晶中的{001}h.c.p. 密排面可以看做{111}f.c.c. 密排面因层错而造成的结构缺陷。

我们的实验研究了C<sub>60</sub>分子晶体的结晶形态及其微观结构。分析结果表明:C<sub>60</sub>分子晶体的结晶形态主要由{111},{100}和{110}晶面族的生长速率决定。C<sub>60</sub>分子晶体属f.c.c. 晶型,晶体中存在{111}孪晶面和层错面,晶体易受电子辐照损伤,这些因素均有可能导致局部发生f.c.c.  $\rightarrow$  h.c.p. 相变。

## 2 实验

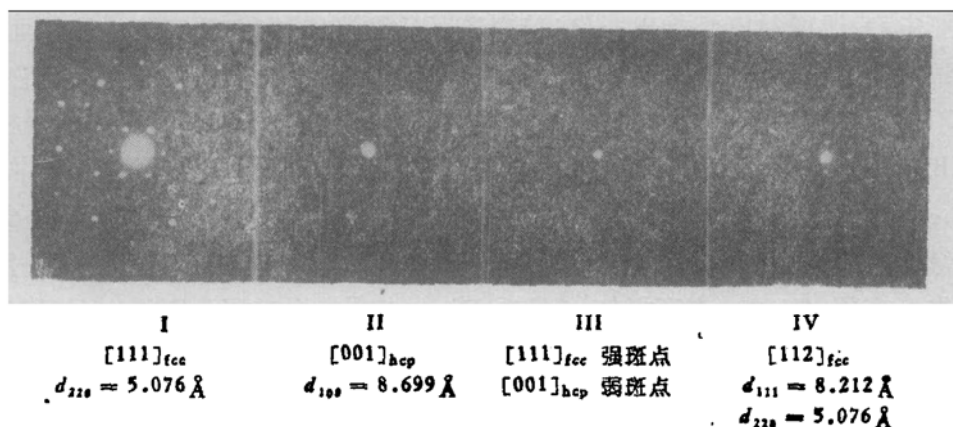
将直流电弧法制得并纯化过的C<sub>60</sub>粉末溶于苯溶液中,滴此溶液于碳支撑膜上,待溶剂蒸发即得不同形态的细小晶体,此结晶过程接近晶体自由生长过程。

用JEM-200CX分析电子显微镜及JEM-200 CX高分辨电子显微镜观察晶体的结晶形态、晶格排列和结构缺陷,记录电子衍射花样、形貌特征及晶格象。

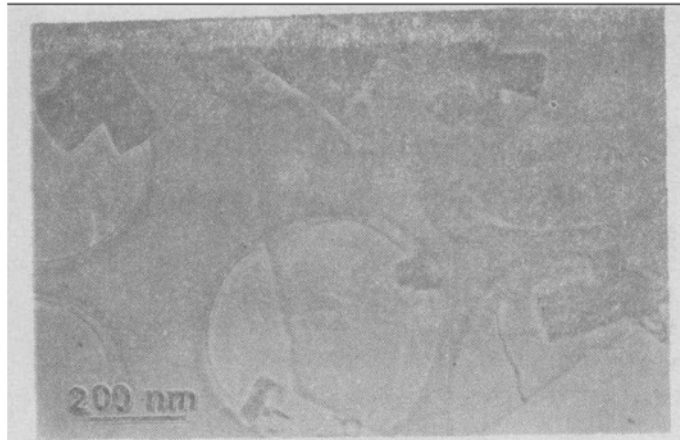
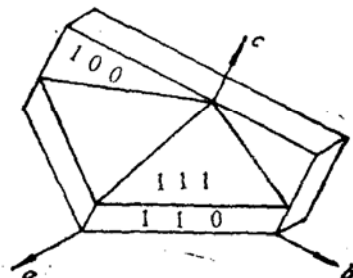
## 3 结果及讨论

### 3.1 C<sub>60</sub>分子晶体的结晶形态

C<sub>60</sub>分子晶体的电子衍射花样大致可归为四类,并以第I类(六方对称)为主,见图1。衍射花样指标化后证明这种晶体属面心立方晶型,强衍射斑点对应低指数晶面,而晶体的外形呈矩形、六方和棒状,见图2。晶体的外在形貌在一定程度上反映了其结晶学的某些特征,结合晶体生长过程分析结晶形态可以说明其缘由。

图1  $C_{60}$  分子晶体的电子衍射花样

实验过程中,滴在碳膜上的  $C_{60}$ -苯溶液是在近似非受控条件下蒸发结晶的。此条件下,晶体的形态主要受晶面淘汰律的制约,慢面显现,快面隐没,最终呈现稳定的多面体外形。若考虑  $C_{60}$  晶体中格点间存在两类较强作用,即  $(0,0,0)$  与  $(\frac{1}{2}, \frac{1}{2}, 0)$  之间和  $(0,0,0)$  与  $(1, 0, 0)$  之间的作用,前者强于后者,则  $\{111\}$  晶面族生长最慢,最易显露,  $\{100\}$ ,  $\{110\}$  晶面族次之。所以  $C_{60}$  分子晶体的结晶形态主要应由  $\{111\}$ ,  $\{100\}$  和  $\{110\}$  晶面族的生长速率决定。图3是  $C_{60}$  晶体生长时显露面示意图。

图2 从  $C_{60}$ -苯溶液中结晶出来的  $C_{60}$  晶体图3  $C_{60}$  晶体生长时显露面示意图

### 3.2 $C_{60}$ 晶体中局部相变的讨论

前已叙及  $C_{60}$  晶型存在非唯一性的现象。在我们的实验中则观察到另一现象—— $[111]$  晶带轴的面心立方衍射花样和  $[001]$  晶带轴的六方衍射花样均出现,甚至两种斑点互相嵌套,分别与图1中的I,II,III对应。对这个问题目前还难于下结论,不妨讨论一下局部发生  $f.c.c. \rightarrow h.c.p.$  相变的可能性。

1991年,Wentzcovitch 曾讨论过金属铝的  $f.c.c. \rightarrow h.c.p.$  结构相变中子相与母相的关系,建立了实现相变过程的结构畸变模型<sup>④</sup>。当有如下几种应变同时出现时,  $f.c.c.$  结构可以畸变为  $h.c.p.$ 。(1) 沿  $[100]_{f.c.c}$  或  $[010]_{f.c.c}$  方向上, A, B 层发生相对剪切;(2) 沿  $[100]_{f.c.c}$ ,  $[010]_{f.c.c}$  及  $[001]_{f.c.c}$  方向上存在一宏观应变;(3) 在  $[001]_{f.c.c}$  方向上存在一压应变。由此联想到  $C_{60}$  晶体中局部出现  $f.c.c. \rightarrow h.c.p.$  相变可能是由于某些局部应力使层间

发生错排而引起的。而这些局部应力可能来自两方面：一方面是晶体生长中伴生的各种缺陷引起的局部应力。温树林已经指出：{111}孪晶面及沿[110]方向观察到的层错面是 f.c.c.  $C_{60}$  晶体显微结构的突出特点<sup>[6]</sup>。我们的观察再次证实{111}生长孪晶面的存在，它们与{111}层错面相距不远，且层错几率较大，见图 4。这样面心立方的 ABCABC… 排列将会局部错排衍生出 ABAB… 或 ACAC… 排列，出现 h.c.p. 结构。第 III 类衍射花样中，弱（h.c.p.）和强（f.c.c.）两种六方对称斑点嵌套，也间接说明了这种相变。另一方面则是电子束辐照提供额外能量产生的效应。Wang 等<sup>[7]</sup>人就曾观察过  $C_{60}$  晶体在电子束辐照下衍射花样的变化，斑点由 I 类渐变到 III 类，直至损伤。最近 Dietz 等<sup>[8]</sup>也报道了用原子力显微镜观察  $C_{60}/C_{70}$  晶体表面分子堆积情况的工作，同样发现立方和六方两种堆积方式共存的现象。他们推测  $C_{60}$  晶体不很稳定，能量较高的 h.c.p. 堆积会渐变为能量较低的 f.c.c. 排列。 $C_{60}$  分子晶体结构的这种可变性引起了人们的兴趣，研究工作正在继续进行。

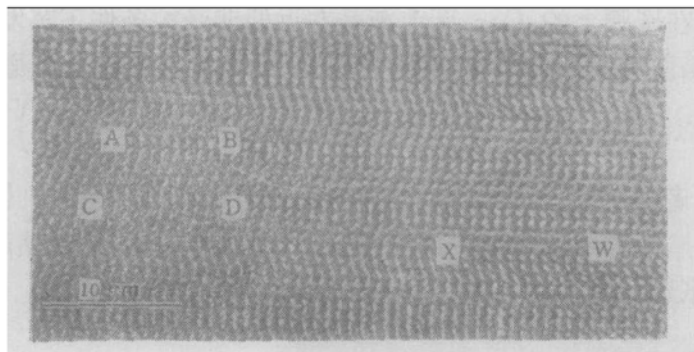


图 4  $C_{60}$  晶体中的{111}生长孪晶面 (XW) 和{111}层错面 (AB, CD)

**致谢** 感谢中国科学院物理研究所解思深教授提供样品。

### 参 考 文 献

- [1] Krätschmer, W., Lamb, L. D., Fostiropoulos, K. et al., *Nature*, 1990, **347**: 354—358.
- [2] Fleming, R. M., Siegrist, T., Marsh, P. M., *Mater. Res. Soc. Symp. Proc.*, 1991, **206**: 691—695.
- [3] Kroto, H. W., Allaf, A. W., Balm, S. P., *Chem. Rev.*, 1991, **91**(6): 1213—1235.
- [4] Song, S. A., *5th Asia-Pacific Electron Microscopy Conference*, Beijing, China, 1992, 482—483.
- [5] Wentzcovitch, R. M., Lam, P. K., *Phys. Rev.*, 1991, **B44**(17): 9155—9158.
- [6] 温树林、刘冉、D. Smith, *科学通报*, 1992, **37** (9): 850—852.
- [7] Dietz, P., Fostiropoulos, K., Krätschmer, W. et al., *Appl. Phys. Lett.*, 1992, **60**(1): 62—64.

1) Wang, S., Department of Geology and Chemistry, Arizona State University, USA. Private Conversation.